

EULAR

#EULAREVIEW19

MADRID JUNIO 2019

REVIEW

Annual European Congress
of Rheumatology

Con la colaboración de:



EULAR

#EULAREVIEW19

MADRID JUNIO 2019

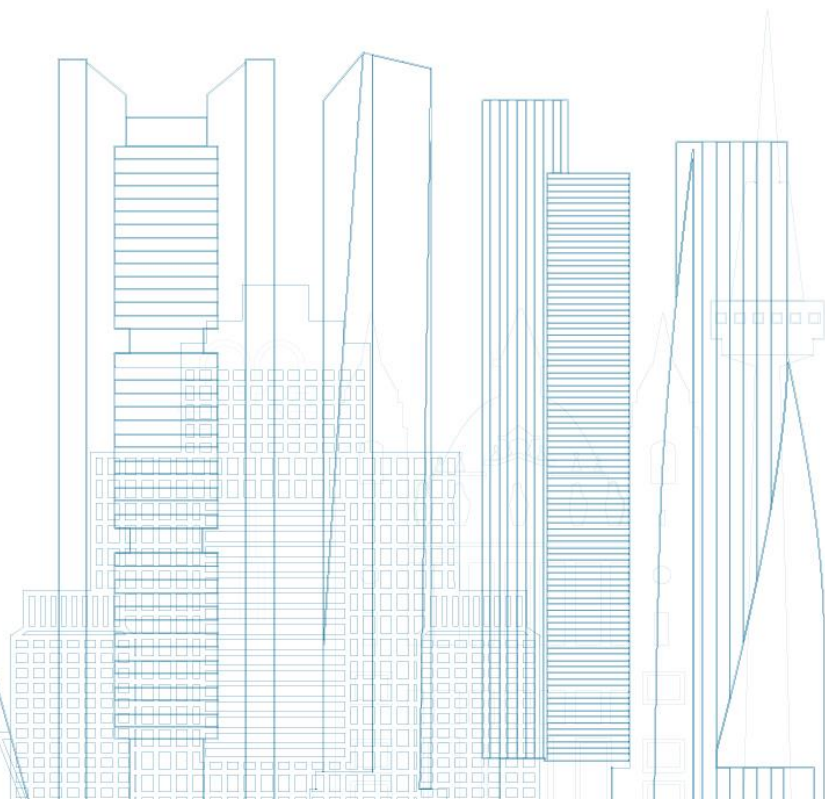
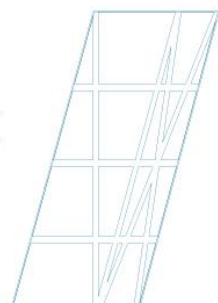
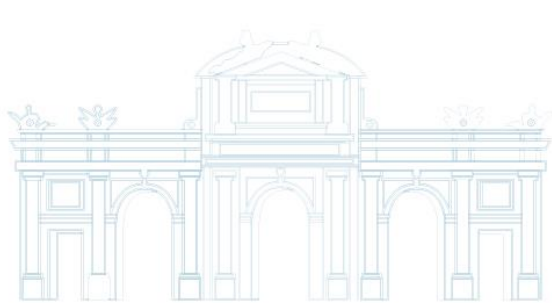
REVIEW

Annual European Congress
of Rheumatology

Miscelánea

Día 14

Dr. Sergi Ordóñez Palau



TEMAS.

- Enfermedad de Behçet.
- Infección.
- Ecografía / rm.
- Síndrome de sapho.
- Capilaroscopia.
- Uveítis.



APREMILAST IN NON-ULCER MANIFESTATIONS IN BEHÇET'S DISEASE. MULTICENTER STUDY OF 32 CASES IN CLINICAL PRACTICE.

- Estudio retrospectivo multicéntrico.
- 32 pacientes con Enfermedad de Behçet.
- Apremilast 30 mg dos veces al día.
- Eficacia en otras manifestaciones distintas a las úlceras mucocutáneas.

Resultados

- Mejoría rápida y completa en los casos de foliculitis/pseudofoliculitis, forunculosis e ileítis.
- Estabilidad en neurobehçet (1 caso).
- Poca eficacia en las manifestaciones musculoesqueléticas (artritis/artromialgias).



SERIOUS INFECTIONS IN OFFSPRING EXPOSED IN UTERO TO NON-TNFI BIOLOGICS AND TOFACITINIB.

Objetivo

- Evaluar el riesgo de infecciones graves en nacidos de madres que durante el embarazo recibieron terapia biológica no-AntiTNF (abatacept, rituximab, tocilizumab, ustekinumab, vedolizumab) o tofacitinib.
- 16.490 nacidos de madres con enfermedad inflamatoria crónica:
 - 108 expuestos a tofacitinib (4), abatacept (34), rituximab (6), tocilizumab (12), ustekinumab (42).
 - 1.611 expuestos a terapia Anti-TNF.
- 164.553 controles no expuestos.

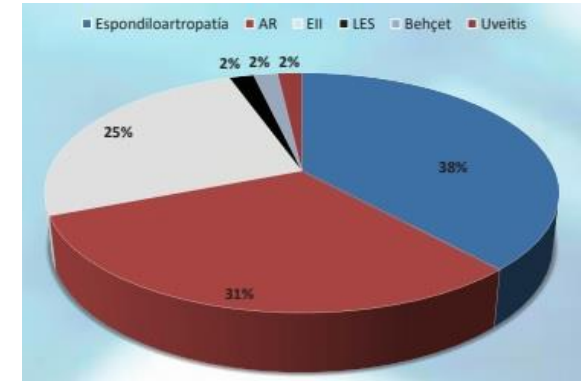
Resultados

- 2,1% (IC del 95%: 1,9-2,3) en expuestos a tofacitinib o no-AntiTNF.
- 2,3% (IC del 95%: 1,6-3,0) en expuestos a Anti-TNF.
- 1,6% (IC del 95%: 1,6-1,7) en controles no expuestos.



LEISHMANIASIS IN PATIENTS WITH CHRONIC INFLAMMATORY DISEASE TREATED WITH IMMUNOMODULATORS. MULTICENTER ANALYSIS.

- Estudio retrospectivo multicéntrico.
- 55 pacientes:
 - 38 pacientes tratamiento con anti-TNF α .
 - 15 pacientes con FAME (14 metotrexato, 1 leflunomida).
 - 1 paciente con tocilizumab / 1 paciente con azatioprina.
- El 27,3% recibía corticoides (CS).
- 52,7% desarrollaron forma cutánea, 38,2% forma visceral, 7,3% forma mucocutánea.



Resultados

- Más casos de leishmaniasis visceral con los fármacos no anti-TNF α y en aquellos tratados con CS.
- Todas las formas cutáneas se desarrollaron en pacientes tratados con anti-TNF α ($p < 0,005$).
- La mayoría de las recidivas se asociaron a la forma mucocutánea.



DIAGNOSTIC ACCURACY OF ULTRASOUND IN CALCIUM PYROPHOSPHATE DEPOSITION DISEASE: PRELIMINARY RESULTS OF THE OMERACT US IN CPPD SUB-GROUP.

- OMERACT.
- Resultados preliminares en 30 pacientes.
- Precisión diagnóstica de la ecografía en la enfermedad por depósito de pirofosfato cálcico.
- La sensibilidad y la especificidad de la ecografía se calcularon utilizando como gold standard el hallazgo de cristales en la microscopía de meniscos y cartílagos.

Resultados

	[95% Confidence Interval]		
Prevalence	40%	23%	59.4%
Sensitivity	83.3%	51.6%	97.9%
Specificity	61.1%	35.7%	82.7%
ROC area	.722	.562	.882
Likelihood ratio (+)	2.14	1.14	4.03
Likelihood ratio (-)	.273	.073	1.02
Odds ratio	7.86	1.42	41.2
Positive predictive value	58.8%	32.9%	81.6%
Negative predictive value	84.6%	54.6%	98.1%

- La ecografía presenta una sensibilidad/especificidad aceptable para el diagnóstico de la enfermedad por depósito de pirofosfato cálcico.
- Primera técnica diagnóstica a aplicar en el screening no invasivo de la enfermedad por depósito de pirofosfato cálcico.

A PROSPECTIVE CLINICAL AND MRI STUDY OF IMMUNE CHECKPOINT INHIBITOR (ICI)-INDUCED MUSCULOSKELETAL MANIFESTATIONS MYO-FASCIITIS AND NOT SYNOVITIS IS THE PROMINENT IMAGING FINDING.



- Estudio prospectivo clínico/RM.
- Pacientes con manifestaciones musculoesqueléticas por inhibidores de los checkpoint.
- 130 pacientes recibieron tratamiento / 10 (7.7%) manifestaciones musculoesqueléticas.
- RM de todas las zonas afectadas.

Resultados en RM

- En todos los casos se objetivó la presencia de miositis-fascitis periarticular independientemente del patrón clínico (tumefacción articular, periarticular o dolor).
- Sinovitis leve o ausente.

Las manifestaciones musculoesqueléticas inducidas por inhibidores de los checkpoint implican principalmente estructuras periarticulares asociadas a la presencia de miositis-fascitis.



IMPACT OF INTERLEUKIN 17 BLOCKING AGENT ON CLINICAL OUTCOME IN SAPHO PATIENTS

- Estudio observacional en 12 pacientes con SAPHO y osteítis y/o afectación cutánea.
- Secukinumab 300 mg.
- Determinación en sangre periférica de la fracción de linfocitos CD4 /IL17+.

Resultados (semana 12)

- Osteitis score (3.8 a 2.4; $p = 0.007$) / Skin score (3.4 a 2.4; $p = 0.071$).
- HAQ (1.25 a 1.0 ; $p = 0.018$) / RM score (2.08 a 1,58; $p = 0,034$).
- Reducción de al menos dos parámetros de actividad clínica (osteítis, HAQ y /o RM) en todos aquellos pacientes con una subpoblación de linfocitos CD4 /IL17+ $> 0,4\%$ de leucocitos en sangre.

Conclusión

- Secukinumab útil en el tratamiento del Síndrome de SAPHO.
- Un mayor número de linfocitos Th17 parece estar asociado a una mayor probabilidad de respuesta.



SAT0545

A COMPARATIVE STUDY OF NAILFOLD CAPILLAROSCOPIC CHANGES IN IDIOPATHIC INTERSTITIAL PNEUMONIA WITH IDIOPATHIC INTERSTITIAL PNEUMONIA AUTOIMMUNE FEATURES

- Comparar los patrones de capilaroscopia periungueal entre pacientes con IPAF y NII.
- 50 IPAF / 50 NII / 50 controles.
- IPAF presentan una menor densidad capilar y una mayor frecuencia de hemorragias, megacapilares y neoangiogénesis.

FRI0590

UVEITIS SECONDARY TO CHECKPOINT INHIBITORS

- Incidencia 0.4%.
- Forma de presentación: uveítis anterior, panuveítis +/- papiledema.
- Bilateral y en los 6 primeros meses de tratamiento.
- Tratamiento tópico +/- corticoides sistémicos 0.5-1 mg/kg.
- Buen pronóstico.

